
**НАДЕЖНОСТЬ, ПРОЧНОСТЬ,
ИЗНОСОСТОЙКОСТЬ МАШИН И КОНСТРУКЦИЙ**

УДК 539.3

**АНАЛИЗ НАПРЯЖЕННО-ДЕФОРМИРОВАННОГО СОСТОЯНИЯ
КОМПОЗИЦИОННЫХ ЦИЛИНДРИЧЕСКИХ ОБОЛОЧЕК
НА ОСНОВЕ УТОЧНЕННОЙ ТЕОРИИ
С УЧЕТОМ ПЬЕЗОЭЛЕКТРИЧЕСКОГО ЭФФЕКТА**© 2021 г. В. В. Фирсанов¹, Л. Х. Нгуен^{1,2,*}¹ *Московский авиационный институт (национальный исследовательский университет),
Москва, Россия*² *Государственный технический университет им. Ле Куи Дона,
Ханой, Социалистическая Республика Вьетнам*

*e-mail: lehung.mai@mail.com

Поступила в редакцию 30.09.2020 г.

После доработки 07.04.2021 г.

Принята к публикации 26.04.2021 г.

В настоящей статье представлена уточненная математическая модель напряженно-деформированного состояния многослойных композиционных цилиндрических оболочек с учетом пьезоэлектрического эффекта. Перемещения и электрический потенциал оболочки представляются в виде полиномов по нормальной координате на две степени выше по отношению к классической теории типа Кирхгофа–Лява. Математическая модель электромеханического состояния композиционных оболочек получена с помощью вариационного принципа Лагранжа. Сформулированная краевая задача электроупругости решается путем сведения трехмерных уравнений к двумерным. Рассматривается пример расчета напряженного состояния типа “погранслои” композиционных цилиндрических оболочек с учетом пьезоэлектрического эффекта с симметричным и асимметричным распределениями слоев под действием произвольной механической и электрической нагрузок.

Ключевые слова: композиционная цилиндрическая оболочка, уточненная теория, пьезоэлектрический эффект, напряженное состояние “погранслои”, электроупругость, электромеханическое состояние

DOI: 10.31857/S0235711921040039

На сегодняшний день большинство современных технических устройств, использующих пьезоэффект, создаются на базе однослойных или многослойных композиционных элементов. Это связано с тем, что такие устройства обладают низкой массой, высокой механической прочностью, повышенной чувствительностью и температурной стабильностью, высокой эффективностью преобразования электрической энергии в механическую, низкой себестоимостью и простотой конструкции. Особенно, пьезоэффекты активно исследуются и применяются в авиационных и космических отраслях. Композиционные пьезоэлементы используются на летательных аппаратах (ЛА) в виде корпусных элементов, панелей, в устройствах системы активного управления для адаптивных конструкций [1]. С помощью различных сенсоров и актуаторов, изготовленных из smart-материалов, ЛА можно обеспечить необходимое распределение аэродинамических нагрузок по размаху упругого крыла и получить оптимальные значения аэродинамических коэффициентов, уменьшить аэродинамические нагрузки

на при маневрах и порывах ветра, подавить флаттер, снизить уровень вибраций [2]. Следовательно, использование композиционных пьезоэлементов помогает ЛА при гашении аэроупругих колебаний за счет повышения качества аэродинамики и эффективного управления их деформациями.

Основными расчетными схемами элементов конструкций ЛА являются тонкие пластинки и оболочки [3], находящиеся под действием различных факторов. В настоящее время инженерные расчеты напряженно-деформированного состояния (НДС) указанных элементов конструкций ЛА базируются на результатах классической теории пластин и оболочек типа Кирхгофа–Лява [4], Тимошенко–Рейсснера [5]. В работах [6–8] и др. показано, что расчеты по классической теории не дают удовлетворительно-го соответствия с практикой из-за наличия дополнительных напряжений типа “погранслои” при исследовании НДС не только изотропных пластин, оболочек в узких краевых зонах искажения, но и оболочек, выполненных из анизотропных, в том числе композиционных материалов.

Вместе с тем, технический прогресс и внедрение новых технологий предъявляют повышенные требования к более точным моделям для описания поведения пластин и оболочек. В последнее время предложены новые методы расчета НДС тонкостенных конструкций. Численные методы, основанные на методе конечных элементов (МКЭ), используются [9] в виде известных программных пакетов Ansys, Nastran, ACELAN и др. для моделирования НДС конструкции на электронно-вычислительных машинах (ЭВМ). Среди аналитических подходов можно назвать: теории сдвиговых деформаций первых, третьих и высших порядков (FSDT, TSDT и HSDT) [9], методы асимптотического интегрирования дифференциальных уравнений трехмерной теории упругости [10], метод простых итераций [11], метод конечных разностей [7], метод собственных функций [12] и др. Один из подходов к построению уточненной теории, называемый в [13] энергетически согласованным, заключается в разложении искомым перемещений в полиномиальные ряды по нормальной координате и последующем применении вариационного принципа Лагранжа.

В настоящей статье в рамках указанного подхода [13] разработана уточненная математическая модель НДС многослойной композиционной цилиндрической оболочки с учетом пьезоэлектрического эффекта с симметричным и ассиметричным распределениями слоев под действием произвольной механической и электрической нагрузок. Указанная математическая модель, по сравнению с классической теорией, дает более достоверные результаты, так как позволяет учесть НДС типа “погранслои” вблизи жестко закрепленных краев пластин и оболочек.

Электромеханическое состояние композиционной цилиндрической оболочки с учетом пьезоэффекта. Композиционная оболочка рассматривается как трехмерное твердое тело, отнесенное к триортогональной криволинейной системе координат ξ, θ, z и находится под действием произвольных механических нагрузок $q_{i3} = q_{i3}^{\pm}(\xi, \theta)$, ($i = 1, 2, 3$) и электрических потенциалов $\varphi_i = \varphi_i^{\pm}(\xi, \theta)$ (рис. 1). Оболочка имеет длину L , толщину $2h$, радиус R и состоит из N слоев. Угол армирования каждого слоя k обозначим через β_k .

Перемещения и электрический потенциал оболочки представляются в виде разложений по нормальной координате [13, 14]

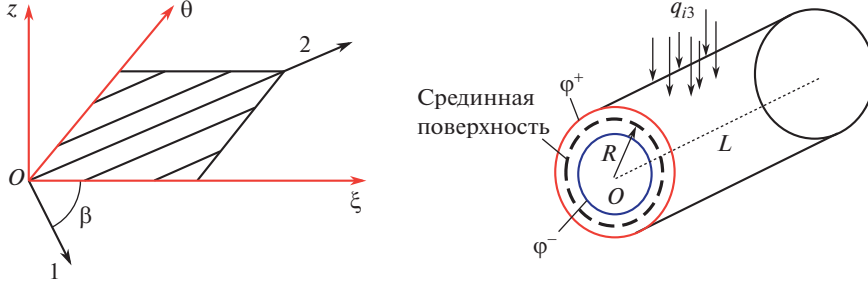


Рис. 1. Пьезокомпозиционная цилиндрическая оболочка.

$$\begin{aligned}
 u(\xi, \theta, z) &= u_0(\xi, \theta) + u_1(\xi, \theta)z + u_2(\xi, \theta) \frac{z^2}{2!} + u_3(\xi, \theta) \frac{z^3}{3!}, \\
 v(\xi, \theta, z) &= v_0(\xi, \theta) + v_1(\xi, \theta)z + v_2(\xi, \theta) \frac{z^2}{2!} + v_3(\xi, \theta) \frac{z^3}{3!}, \\
 w(\xi, \theta, z) &= w_0(\xi, \theta) + w_1(\xi, \theta)z + w_2(\xi, \theta) \frac{z^2}{2!}, \\
 \varphi(\xi, \theta, z) &= \varphi_0(\xi, \theta) + \varphi_1(\xi, \theta)z + \varphi_2(\xi, \theta) \frac{z^2}{2!}.
 \end{aligned} \tag{1}$$

Деформации оболочки определяются как

$$\{\varepsilon\} = \{\varepsilon_\xi, \varepsilon_\theta, \varepsilon_z, \gamma_{\xi\theta}, \gamma_{\xi z}, \gamma_{\theta z}\}^T, \tag{2}$$

где, компоненты деформаций находятся с помощью геометрических соотношений

$$\begin{aligned}
 \varepsilon_\xi &= \frac{1}{R} \frac{\partial u}{\partial \xi}, & \varepsilon_\theta &= \frac{1}{R+z} \left(\frac{\partial v}{\partial \theta} + w \right), & \gamma_{\xi\theta} &= \frac{1}{R} \frac{\partial v}{\partial \xi} + \frac{1}{R+z} \frac{\partial u}{\partial \theta}, \\
 \varepsilon_z &= \frac{\partial w}{\partial z}, & \gamma_{\xi z} &= \frac{1}{R} \frac{\partial w}{\partial \xi} + \frac{\partial u}{\partial z}, & \gamma_{\theta z} &= \frac{1}{R+z} \frac{\partial w}{\partial \theta} + \frac{\partial v}{\partial z} - \frac{v}{R+z}.
 \end{aligned} \tag{3}$$

Уравнения напряженного состояния оболочки при деформации k -го слоя [15, 16] с учетом сопряженного электрического поля в локальной системе координат $O123$ (рис. 1) можно записать в виде [14, 17]

$$\begin{aligned}
 \{\sigma_{123}^{(k)}\} &= [C^{(k)}] \{\varepsilon_{123}^{(k)}\} - [e_{123}^{(k)}]^T \{E_{123}^{(k)}\}, \\
 \{D_{123}^{(k)}\} &= [e_{123}^{(k)}] \{\varepsilon_{123}^{(k)}\} + [\mu_{123}^{(k)}]^T \{E_{123}^{(k)}\},
 \end{aligned} \tag{4}$$

где $\sigma_{123}^{(k)} = \{\sigma_{11}^{(k)}, \sigma_{22}^{(k)}, \sigma_{33}^{(k)}, \sigma_{12}^{(k)}, \sigma_{23}^{(k)}, \sigma_{31}^{(k)}\}$ – вектор напряжения k -го слоя оболочки, $\varepsilon_{123}^{(k)} = \{\varepsilon_{11}^{(k)}, \varepsilon_{22}^{(k)}, \varepsilon_{33}^{(k)}, \gamma_{12}^{(k)}, \gamma_{23}^{(k)}, \gamma_{31}^{(k)}\}$ – вектор деформации k -го слоя, определяемый по формуле $\{\varepsilon_{123}^{(k)}\} = \{\varepsilon\} \{\sigma_{123}^{(k)}\}$, $C^{(k)} = C_{ij}^{(k)}$, $(i, j = \overline{1, 6})$ – симметричная матрица жесткости k -го слоя, $D_{123}^{(k)} = \{D_{11}^{(k)}, D_{22}^{(k)}, D_{33}^{(k)}\}$ – вектор электрической индукции, $E_{123}^{(k)} = \{E_{11}^{(k)}, E_{22}^{(k)}, E_{33}^{(k)}\}$ – вектор напряженности электрического поля k -го слоя, $e_{123}^{(k)} = e_{ij}^{(k)}$ $(i, j = \overline{1, 3}, j = \overline{1, 6})$ – матрица пьезоэлектрических постоянных k -го слоя, $\mu_{123}^{(k)} = \mu_{ij}^{(k)}$

($i = \overline{1, 3}, j = \overline{1, 3}$) – симметричная матрица диэлектрических проницаемостей при нулевой деформации k -го слоя оболочек.

Электромеханическая связь k -го слоя в общей системе координат $O\xi\theta z$ определяется следующей формулой

$$\begin{aligned} \{\sigma_{\xi\theta z}^{(k)}\} &= [T_2^{(k)}]^T [C^{(k)}] [T_2^{(k)}] \{\varepsilon\} - [e_{\xi\theta z}^{(k)}]^T \{E_{\xi\theta z}^{(k)}\}, \\ \{D_{\xi\theta z}^{(k)}\} &= [e_{\xi\theta z}^{(k)}] \{\varepsilon\} + [\mu_{\xi\theta z}^{(k)}]^T \{E_{\xi\theta z}^{(k)}\}. \end{aligned} \quad (5)$$

Здесь $[T_2^{(k)}]$ – матрица перехода [18], принимаемая в виде

$$[T_2^{(k)}] = \begin{bmatrix} \cos^2 \beta^{(k)} & \sin^2 \beta^{(k)} & 0 & 0 & 0 & \sin \beta^{(k)} \cos \beta^{(k)} \\ \sin^2 \beta^{(k)} & \cos^2 \beta^{(k)} & 0 & 0 & 0 & -\sin \beta^{(k)} \cos \beta^{(k)} \\ 0 & 0 & 1 & 0 & 0 & 0 \\ 0 & 0 & 0 & \cos \beta^{(k)} & -\sin \beta^{(k)} & 0 \\ 0 & 0 & 0 & \sin \beta^{(k)} & \cos \beta^{(k)} & 0 \\ -\sin 2\beta^{(k)} & \sin 2\beta^{(k)} & 0 & 0 & 0 & \cos^2 \beta^{(k)} - \sin^2 \beta^{(k)} \end{bmatrix} \quad (6)$$

и $\{\sigma_{\xi\theta z}^{(k)}\} = \{\sigma_{\xi}^{(k)}, \sigma_{\theta}^{(k)}, \sigma_z^{(k)}, \sigma_{\xi\theta}^{(k)}, \sigma_{\xi z}^{(k)}, \sigma_{\theta z}^{(k)}\}^T$, $D_{\xi\theta z}^{(k)} = \{D_{\xi}^{(k)}, D_{\theta}^{(k)}, D_z^{(k)}\} = D_{123}^{(k)}$, $e_{\xi\theta z}^{(k)} = e_{123}^{(k)}$, $\mu_{\xi\theta z}^{(k)} = \mu_{123}^{(k)}$, $E_{\xi\theta z}^{(k)} = \{E_{\xi}^{(k)}, E_{\theta}^{(k)}, E_z^{(k)}\} = E_{123}^{(k)}$ – электроупругостные параметры k -го слоя оболочки в общей системе координат $O\xi\theta z$.

Уравнения Максвелла для электрического поля в материальных средах, пренебрегая в них магнитными эффектами, можно привести к уравнениям электростатики. Отсюда следует, что вектор напряженности можно выразить [15, 19] через потенциал φ

$$E_{\xi}^{(k)} = -\frac{\partial \varphi}{A_1 \partial \xi}, \quad E_{\theta}^{(k)} = -\frac{\partial \varphi}{A_2 \partial \theta}, \quad E_z^{(k)} = -\frac{\partial \varphi}{\partial z}, \quad (7)$$

где $A_1 = R$, $A_2 = 1 + z/R$ – параметры Ламе цилиндрической оболочки.

Обозначая электрический потенциал, действующий на верхнюю и нижнюю поверхности оболочки через φ^+ и φ^- , соответственно, из четвертого равенства системы (1) получим

$$\varphi_1 = \frac{\varphi^+ - \varphi^-}{2h}, \quad \varphi_2 = -\frac{\varphi_0}{h^2} + \frac{\varphi^+ + \varphi^-}{2h^2}. \quad (8)$$

Для построения основных уравнений теории цилиндрических оболочек с учетом пьезоэлектрического эффекта используется вариационный принцип Лагранжа [20]

$$\delta U - \delta A = 0. \quad (9)$$

В уравнении (9) вариация потенциальной энергии δU , состоящая из энергий механической деформации и электрического поля, определяется как

$$\delta U = \sum \int (\sigma \delta \varepsilon + D \delta E) dV. \quad (10)$$

Работа внешних нагрузок представляется суммой работ механических нагрузок и электрических зарядов Q на поверхностях оболочки, в результате вариация δA находится по формуле

$$\delta A = \sum \int q_{i3} (\delta u_i + \delta v_i + \delta w_i) dS + \sum \int Q \delta \varphi dS. \quad (11)$$

Подставляя выражения (10) и (11) в равенство (9), получим систему уравнений равновесия теории композиционных цилиндрических оболочек в перемещениях и потенциалах с учетом пьезоэлектрического эффекта

$$\begin{aligned}
 & \frac{\partial N_{11}^{(0)}}{\partial \xi} + \frac{\partial N_{21}^{(0)}}{\partial \theta} = 0, \\
 & \frac{\partial N_{11}^{(i)}}{\partial \xi} + \frac{\partial N_{21}^{(i)}}{\partial \theta} - RN_{13}^{(i-1)} = 0, \quad (i = \overline{1, 3}), \\
 & \frac{\partial N_{12}^{(0)}}{\partial \xi} + \frac{\partial N_{22}^{(0)}}{\partial \theta} + N_{23}^{(0)} = 0, \\
 & \frac{\partial N_{12}^{(i)}}{\partial \xi} + \frac{\partial N_{22}^{(i)}}{\partial \theta} + N_{23}^{(i)} - RN_{23}^{(i-1)} - iN_{23}^{(i)} = 0, \quad (i = \overline{1, 3}), \\
 & \frac{\partial N_{13}^{(0)}}{\partial \xi} + \frac{\partial N_{23}^{(0)}}{\partial \theta} - N_{22}^{(0)} + Rp_z^{(0)} = 0, \\
 & \frac{\partial N_{13}^{(j)}}{\partial \xi} + \frac{\partial N_{23}^{(j)}}{\partial \theta} - N_{22}^{(j)} - RN_{33}^{(j-1)} + Rp_z^{(j)} = 0, \quad (j = \overline{1, 2}), \\
 & \frac{\partial (h^2 ND_1^{(0)} - ND_1^{(2)})}{\partial \xi} + \frac{\partial (h^2 ND_2^{(0)} - ND_2^{(2)})}{\partial \theta} - 2ND_3^{(1)} = 0.
 \end{aligned} \tag{12}$$

Воспользовавшись стандартными краевыми условиями трехмерной теории электроупругости [8], получим соответствующие краевые условия при стандартном закреплении краев оболочки:

1) на жестко защемленном краю: $u_i = v_i = w_i = 0$, $\varphi_0 = 0$, $(i = \overline{1, 3})$;

2) на шарнирно защемленном краю: $N_{11}^{(j)} = 0$, $(j = \overline{0, 3})$, $v_i = w_i = 0$, $\varphi_0 = 0$, $(i = \overline{1, 3})$;

3) на свободном краю: $N_{11}^{(i)} = N_{12}^{(i)} = N_{13}^{(i)} = 0$, $\varphi_0 = 0$, $(i = \overline{0, 3})$.

Здесь $N_{ij}^{(k)}$ ($i = \overline{1, 3}$, $j = \overline{1, 3}$, $k = \overline{0, 3}$) – механические усилия и моменты, $ND_i^{(k)}$ ($i = \overline{1, 3}$, $k = \overline{0, 2}$) – электрические усилия и моменты, для которых приняты следующие обозначения:

$$\begin{aligned}
 (N_{11}^{(i)}, N_{12}^{(i)}, N_{13}^{(i)}) &= \sum_{k=1}^{n+2} \int_{-h}^h (\sigma_{\xi}, \sigma_{\xi\theta}, \sigma_{\xi z}) \frac{z^i}{i!} dz, \quad (i = \overline{0, 3}), \\
 (N_{22}^{(i)}, N_{21}^{(i)}, N_{23}^{(i)}) &= \sum_{k=1}^{n+2} \int_{-h}^h (\sigma_{\theta}, \sigma_{\xi\theta}, \sigma_{\theta z}) \frac{z^i}{i!} dz, \quad (i = \overline{0, 3}), \\
 N_{33}^{(j)} &= \sum_{k=1}^{n+2} \int_{-h}^h \sigma_z \frac{z^j}{j!} dz, \quad (j = \overline{0, 2}), \\
 ND_1^{(i)} &= \sum_{k=1}^{n+2} \int_{-h}^h D_1 \left(1 + \frac{z}{R}\right) \frac{z^i}{i!} dz, \quad ND_2^{(i)} = \sum_{k=1}^{n+2} \int_{-h}^h D_2 \frac{z^i}{i!} dz, \quad (i = \overline{0, 2}), \\
 ND_3^{(i)} &= \sum_{k=1}^{n+2} \int_{-h}^h D_3 \left(1 + \frac{z}{R}\right) \frac{z^i}{i!} dz, \quad (i = \overline{0, 2}),
 \end{aligned} \tag{13}$$

$$p_z^{(i)} = q_{33}^+(\xi, \theta) \left(1 + \frac{h}{R}\right) \left(\frac{h^i}{i!}\right) - q_{33}^-(\xi, \theta) \left(1 - \frac{h}{R}\right) \left(\frac{(-h)^i}{i!}\right), \quad (i = \overline{0, 3}).$$

Решение краевой задачи. Рассматривается замкнутая круговая композиционная цилиндрическая оболочка, края которой жестко защемлены. Для приведения краевой задачи (12)–(13) к системе обыкновенных дифференциальных уравнений используются разложения перемещений и электрических потенциалов в тригонометрические ряды по окружной координате θ вида

$$\begin{aligned} q(\xi, \theta) &= \sum_{m=1}^{\infty} Q_m(\xi) \cos(m\theta) + Q_0(\xi), \\ u_i(\xi, \theta) &= \sum_{m=1}^{\infty} U_i(\xi) \cos(m\theta) + U_{i0}(\xi), \quad i = \overline{0, 3}, \\ v_i(\xi, \theta) &= \sum_{m=1}^{\infty} V_k(\xi) \sin(m\theta) + V_{i0}(\xi), \quad i = \overline{0, 3}, \\ w_j(\xi, \theta) &= \sum_{m=1}^{\infty} W_j(\xi) \cos m\theta + W_{j0}(\xi), \quad j = \overline{0, 2}, \\ \varphi(\xi, \theta) &= \sum_{m=1}^{\infty} \varphi_m(\xi) \cos(m\theta) + \varphi_0(\xi). \end{aligned} \quad (14)$$

После подстановки разложений (14) в уравнения (12) и краевые условия $u_i = v_i = w_i = 0$, $\varphi_0 = 0$, ($i = \overline{1, 3}$), находим систему обыкновенных дифференциальных уравнений для функций u_{im} , v_{im} , w_{im} , φ_{im} , $i = \overline{0, 3}$, $l = \overline{0, 2}$, $m = 1, 2, 3, \dots$, которые здесь не приводятся по причине их громоздкости.

Пример расчета. В качестве примера рассматривается замкнутая цилиндрическая композиционная оболочка из smart-материала *PZT-4* радиусом $R = 0.25$ м, длиной $L = 4R$, относительной толщиной $2h/R = 1/50$. Электроупругостные характеристики материала: модули Юнга $Y_1 = Y_2 = 81.3$ (ГПа) и $Y_3 = 64.5$ (ГПа), коэффициенты Пуассона $\nu_{12} = 0.329$ и $\nu_{13} = \nu_{23} = 0.432$, модули сдвига $G_{12} = 30.6$ (ГПа) и $G_{13} = G_{23} = 25.6$ (ГПа), пьезоэлектрические константы: $e_{31} = e_{32} = -5.20$ (Cm⁻¹), $e_{33} = 15.08$ (Cm⁻²) и $e_{15} = e_{24} = 0$, диэлектрические проницаемости: $\mu_{11} = 5.62$ (10⁻⁹ Fm⁻¹) и $\mu_{22} = \mu_{33} = 6.46$ (10⁻⁹ Fm⁻¹). Оболочка состоит из шести слоев и находится под действием нагрузок в двух вариантах: 1) механическая нагрузка $q_{33}^+(\xi, \theta) = Q_0(\xi) \cos(2\theta)$, 2) электрический потенциал $\varphi^+(\xi, \theta) = V_0(\xi) \cos(2\theta)$.

Результаты вычисления нормальных напряжений на жестко защемленном краю оболочки, имеющей симметричное и антисимметричное распределения слоев показаны на рис. 2, 3.

Анализ полученных результатов распределения напряжений по толщине оболочки показывает, что в первом варианте на жестко защемленном краю поперечные нормальные и касательные напряжения σ_z , $\sigma_{\xi z}$ составляют примерно 60 и 28% от максимальных нормальных напряжений при симметричном распределении слоев [0/90°/0/0/90°/0], а при антисимметричном распределении слоев [0/90°/-90°/90°/-90°/0] – 65 и 30%, соответственно.

Аналогично, во втором варианте на жестко защемленном краю поперечные нормальные и касательные напряжения σ_z , $\sigma_{\xi z}$ составляют примерно 28 и 8% от максимальных нормальных напряжений при симметричном распределении сло-

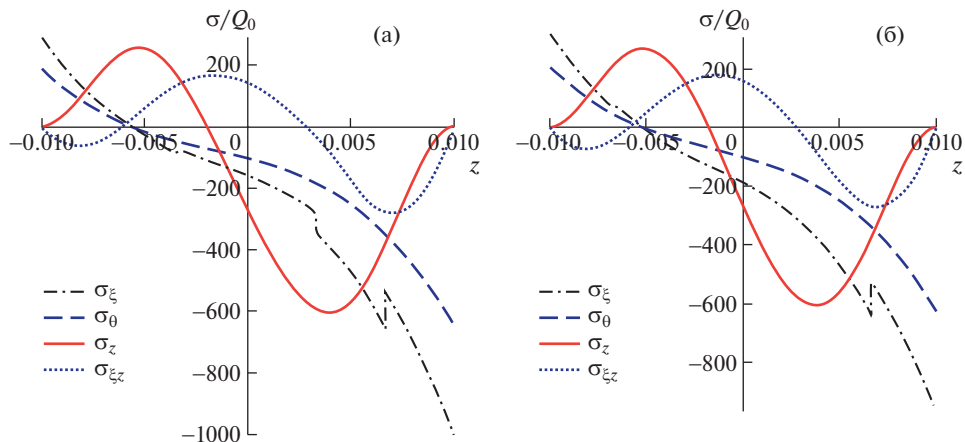


Рис. 2. Распределение напряжений по толщине на краю в первом варианте: (а) – при симметричном распределении слоев $[0/90^\circ/0/0/90^\circ/0]$; (б) – при антисимметричном распределении слоев $[0/90^\circ/-90^\circ/90^\circ/-90^\circ/0]$.

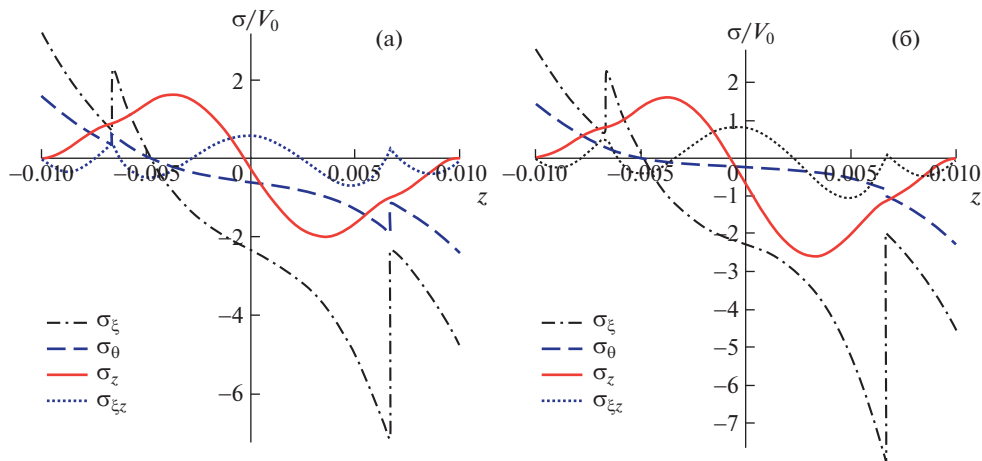


Рис. 3. Распределение напряжений по толщине на краю во втором варианте: (а) – при симметричном распределении слоев $[0/90^\circ/-90^\circ/-90^\circ/90^\circ/0]$; (б) – при антисимметричном распределении слоев $[0/45^\circ/-45^\circ/45^\circ/-45^\circ/0]$.

ев $[0/90^\circ/-90^\circ/-90^\circ/90^\circ/0]$, а при антисимметричном распределении слоев $[0/45^\circ/-45^\circ/45^\circ/-45^\circ/0]$ – 32 и 12%, соответственно.

Расчеты напряженного состояния в зонах, удаленных от краев оболочки, показали, что поперечные нормальные напряжения, как и следовало ожидать, малы по сравнению с остальными напряжениями, что позволяет ими пренебречь.

Заключение. На основании уточненной теории построена математическая модель электромеханического состояния композиционных цилиндрических оболочек под действием произвольных нагрузок с учетом пьезоэлектрического эффекта.

Приведены примеры расчетов напряженного состояния замкнутой цилиндрической композиционной оболочки под действием механических и электрических нагрузок с симметричным и асимметричным распределениями слоев. Установлено, что в зонах жесткого закрепления имеют место дополнительные поперечные нормальные и касательные напряжения типа “погранслои”, которые необходимо учитывать при расчете прочности и долговечности непрерывных соединений элементов конструкций.

КОНФЛИКТ ИНТЕРЕСОВ

Авторы заявляют об отсутствии конфликта интересов.

СПИСОК ЛИТЕРАТУРЫ

1. *Baker A., Dutton St., Kelly D.* Composite materials for aircraft structures. Publisher: AIAA Inc, 2004. 603 p.
2. *Гришанина Т.В., Шклярчук Ф.Н.* Динамика управляемых конструкций. М.: Изд-во МАИ, 2007. 326 с.
3. *Гольденвейзер А.Л.* Теория упругих тонких оболочек. М.: Наука, 1976. 512 с.
4. *Friedrichs K.O.* Kirchoff's boundary conditions and the edge effect for elastic plates // Proc. Sympos. Appl. Math. 1950. V. 3. P. 258.
5. *Timoshenko S.P., Voinovsky-Krieger S.* Theory of plates and shells. McGrawHill, 1959. 591 p.
6. *Фирсанов В.В., Чан Н.Д.* Энергетически согласованная теория цилиндрических оболочек // Проблемы машиностроения и надежности машин. 2011. № 6. С. 49.
7. *Фирсанов В.В., Фам В.Т.* Напряженно-деформированное состояние сферической оболочки под действием произвольной нагрузки на основе неклассической теории // Проблемы прочности и пластичности. 2019. Т. 81. № 3. С. 64.
8. *Firsanov V.V., Doan T.N.* Investigation of the statics and free vibrations of cylindrical shells on the basis of a nonclassical theory // Composites: Mechanics. 2015. V. 6. Iss. 2. P. 135.
9. *Reddy J.N.* Mechanics of laminated composite plates and shells: theory and analysis. CRC Press, 2004. 831 p.
10. *Гольденвейзер А.Л.* Построение приближенной теории оболочек при помощи асимптотического интегрирования уравнений теории упругости // Прикладная математика и механика. 1963. Т. 27. № 4. С. 593.
11. *Зверьяев Е.М., Олехова Л.В.* Итерационная трактовка полуобратного метода Сен-Венана при построении уравнений тонкостенных элементов конструкций из композиционного материала // Труды МАИ. 2015. № 79. С. 27.
12. *Улитко А.Ф.* Метод собственных векторных функций в пространственных задачах теории упругости. Киев: Наукова думка, 1979. 262 с.
13. *Васильев В.В., Лурье С.А.* К проблеме уточнения теории пологих оболочек // Известия АН СССР. Механика твердого тела. 1990. № 6. С. 139.
14. *Xiao-Hong Wu, Chongqing Chen, Ya-Peng Shen, Xiao-Geng Tian.* A high order theory for functionally graded piezoelectric shells // International Journal of Solids and Structures. 2002. № 39 (20). P. 5325.
15. *Партон В.З., Кудрявцев Б.А.* Электромагнитоупругость пьезоэлектрических и электропроводных тел. М.: Наука, 1998. 470 с.
16. *Tzou H.S.* Piezoelectric Shells, Distributed Sensing and Control of Continua. 1993. ISBN 978-94-010-4784-5.
17. *Димитриенко Ю.И., Морозов А.Н., Соколов А.П., Ничеговский Е.С.* Моделирование эффективных пьезоэластичных композиционных материалов // Вестник МГТУ им. Н.Э. Баумана. Сер. Естественные науки. 2010. № 3. С. 86.
18. *Амбарцумян С.А.* Теория анизотропных пластин. М.: Наука, 1967. 68 с.
19. *Гринченко В.Т., Улитко А.Ф., Шульга Н.А.* Электроупругость. Киев: Наукова думка, 1989. Т. 5. 280 с.
20. *Власов В.З.* Общая теория оболочек. Избранные труды. Общая теория оболочек. М.: АН СССР, 1962. Т. 1. 528 с.